

УДК 628.16:621.981.3

О. І. ТРИШЕВСЬКИЙ, М. В. САЛТАВЕЦЬ

ПОДІЛ СЛЯБІВ СІТКОЮ ПРИ РІШЕННІ ДВОМІРНОЇ ЗАДАЧІ НЕСТАЦІОНАРНОЇ ТЕПЛОПРОВІДНОСТІ ЯВНИМ КІНЦЕВО-ВІД'ЄМНИМ МЕТОДОМ

Встановлено, що для чисельного рішення теплофізичних задач теплообміну системи валок – полоса, що описуються рівняннями нестационарної теплопровідності, найбільш ефективним є метод кінцевих від'ємностей. Для подальшого чисельного рішення задач нестационарної теплопровідності (теплого стану) полоси та валків при гарячій прокатці сляби, які з заготовкою при гарячій прокатці листа, поділені умовною сіткою, для можливих варіантів вузлів якої при рішенні двомірної задачі нестационарної теплопровідності складені рівняння балансу енергії з подальшою кінцево-від'ємною апроксимацією Фур'є.

Ключові слова: сляб, лист, гаряча прокатка, діляльна сітка, тепловий стан, нестационарна теплопровідність, баланс енергії, апроксимація, кінцево-від'ємний метод.

Вступ. Відомо, що в промислово розвинутих країнах (Німеччина, Японія, Франція, США, Італія, Південна Корея) з метою скорочення часу технологічного процесу і економії енергетичних витрат при гарячій прокатці полоси, проводяться дослідження щодо удосконалення технології її виробництва, на базі котрих розроблюється нове устаткування, у тому числі устаткування для надшвидкісного охолодження листа (ULTRA FAST COOLING – UFC) на ділянках перед чистою групою клітей і після чистої групи перед моталкою [1].

На Україні обладнання та технологія прокатки полоси були створені у відповідності з вимогами часу їх конструювання і, відповідно, не існує прокатних станів V покоління, а також сучасних методів проектування технологічного процесу прокатки з використанням цього ефективного прийому. Технології прокатки полоси на Україні потребують суттєвих змін з урахуванням вимог економії енергії для зменшення собівартості готової продукції шляхом удосконалення обладнання і режимів обтиснення з урахуванням теплового стану полоси.

Однак, невирішеною до цього часу залишається проблема охолодження полоси і валків при мінімумі розходу енергії, що дозволило би більш ефективно використовувати існуюче обладнання для здійснення нового технологічного процесу. Одним із перспективних шляхів рішення практичних задач розробки нових технологій і устаткування є залучення для цих питань методу математичного моделювання з використанням аналогової і цифрової обчислюваної техніки.

Внаслідок цього, розробка раціонального охолодження полоси і валків на основі математичного моделювання цього технологічного процесу є своєчасною та актуальною.

Аналіз стану питання, основних досягнень і літератури. У попередніх роботах авторів [2,3] була розроблена математична модель теплового стану полоси та валків під час прокатки, яка включає усі можливі варіанти, які мають місце під час гарячої прокатки. Враховано теплообмін валка з гарячою половою, а також з водою, що йде на охолодження валка, геометричні розміри зон деформації і примусового охолодження, а також їх взаємне розташування. Якщо математична модель явища відома, то одним із шляхів її дослідження та отримання кінцевого рішення є математичне моделювання, тобто рішення систем рівнянь за допомогою або без допомоги обчислюваних машин [4, 5]. На підставі розгляду цих робіт з урахуванням

застосування обчислювальних машин для рішення теплофізичних задач можна зробити висновок, що для рішення нелінійних і об'ємних задач, що описуються рівняннями типу рівняння нестационарної теплопровідності, найбільш ефективним є метод кінцевих від'ємностей. Для отримання результату у числовому вигляді, згідно з цим методом, переходять від диференціальних рівнянь з частковими похідними до відповідних рівнянь у кінцевих від'ємностях. Рівняння в кінцевих від'ємностях отримують шляхом зміни похідних їх від'ємностями.

У роботах [4, 5] наведені приклади переходу від диференціальних рівнянь з частковими похідними до рівнянь в кінцевих від'ємностях. Вони мають практично однаковий вигляд і відрізняються лише записом в залежності від системи координат (прямокутна чи циліндрична) і виду (лінійного або нелінійного). Наведено навіть кінцево-від'ємні рівняння для прямокутної і циліндричної систем координат з нерівномірними кроками по простору. Ці рівняння призначені для визначення залежностей при обчисленні RC – сіткових, або R-R – сіткових електромоделей при рішенні задач нестационарної теплопровідності неявним кінцево – від'ємним методом.

У разі використання явного кінцево – від'ємного методу задача спрощується – необхідно лише самостійно скласти кінцево-від'ємні рівняння балансу енергії для кожного вузла з урахуванням об'єктів досліджень.

Згідно з викладеним, метою даної роботи є поділ слябів, які являються заготовкою при гарячій прокатці листа, сіткою при рішенні двомірної задачі нестационарної теплопровідності явним кінцево-від'ємним методом, складання рівнянь балансу енергії для можливих варіантів сітки з подальшою кінцево-від'ємною апроксимацією Фур'є. Матеріали цих досліджень є основою для подальшого чисельного рішення задач нестационарної теплопровідності (теплого стану) полоси та валків при гарячій прокатці.

Матеріали досліджень. У випадку двомірної задачі рівняння математичного опису процесів теплообміну в системі полоса-окалина-валок має вид [6]

$$c_m \rho_m \frac{\partial T}{\partial \tau} = \frac{\partial}{\partial x} \left(\lambda_m \frac{\partial T}{\partial x} \right) + \frac{\partial}{\partial y} \left(\lambda_m \frac{\partial T}{\partial y} \right) + \rho_m (c_m T) + q_v \quad (1)$$

Схему розбивки слябу сіткою у поперечному перерізі представлено на рис.1.

Враховано, що у напрямку вісі x сітка повинна бути густішою у під поверхневих шарах і більш рідка у шарах, розташованих ближче до середини слябу.

Як видно з рис.1, вузли 10, 20, 30, 40 та 50 розташовані на середині слябу паралельно вісі y . Вузли 41-50 розташовані також на середині слябу, але паралельно вісі x .

У відповідності з рекомендаціями [7], запишемо баланс енергії для кожного вузла, отримуючи алгебраїчні рівняння для температури у кожному вузлі.

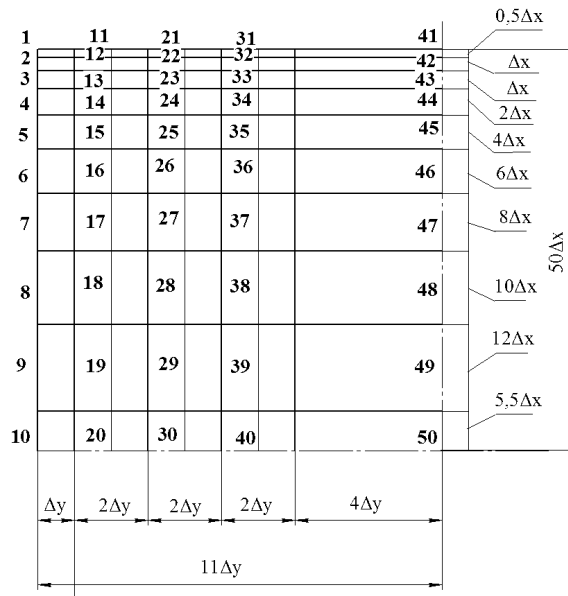


Рис. 1 – Поділ чверті слябу сіткою (вісесиметрична задача)

Розглянемо складання балансу енергії для типового внутрішнього вузла 24 (рис.1), представленого у збільшеному вигляді на рис 2

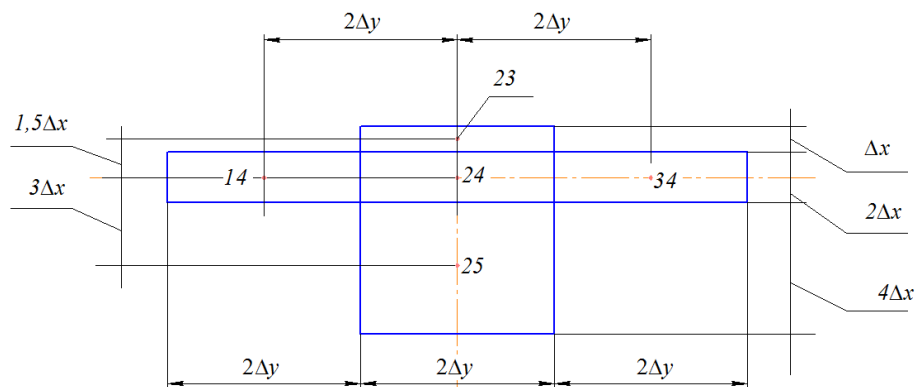


Рис. 2 – Схема типового внутрішнього і сусідніх вузлів усередині слябу

Баланс енергії для вузла 24 запишемо у вигляді

$$q_{23 \rightarrow 24} + q_{34 \rightarrow 24} + q_{25 \rightarrow 24} + q_{14 \rightarrow 24} + q_G + q_{w, 25 \rightarrow 24} = \frac{\partial U'_{24}}{\partial \tau}, \quad (2)$$

де U'_{24} – внутрішня енергія у вузлі 24;
 q_G – тепловиділення у виділеному об'ємі;

$$q_G = q_v \times V; \quad (3)$$

V – об'єм елементарного вузла;

$$V_{24} = 2\Delta x \times 2\Delta y \times \Delta z \quad (4)$$

q_v – інтенсивність тепловиділення на одиницю об'єму;

Δz – товщина елементарного об'єму по нормалі до площини креслення;

q_w – швидкість переносу тепла при деформуванні металу;

$$q_w = q'_w \times V; \quad (5)$$

q'_w – швидкість зміни внутрішньої енергії матеріалу на одиницю об'єму;

$$q'_w = \frac{c \times \rho \times U \times T}{\Delta x_{i\pm 1}} \quad (6)$$

де $\Delta x_{i\pm 1}$ – відстань між вузлом 24 і вузлами, розташованими над вузлом 24 (i-1), а також під вузлом 24 (i+1).

Зміну внутрішньої енергії у вузлі представляємо у вигляді

$$\frac{\partial U_{24}}{\partial \tau} \approx m \times c \frac{\Delta T_{24}}{\Delta \tau} = c \times \rho \times 2\Delta x \times 2\Delta y \times \lambda \times 2 \Delta y \times \Delta z \frac{T_{23,\tau} - T_{24,\tau}}{1,5\Delta x} + \lambda \times 2\Delta x \times \Delta z \frac{T_{34,\tau} - T_{24,\tau}}{2\Delta y} + \lambda \times 2\Delta y \times \Delta z \frac{T_{25,\tau} - T_{24,\tau}}{3\Delta x} + \lambda \times 2\Delta x \times \Delta z \frac{T_{14,\tau} - T_{24,\tau}}{2\Delta y} + q_v \times 2 \Delta x \times 2 \Delta y \times \Delta z + \frac{c \times \rho \times U (T_{23,\tau} - T_{24,\tau}) 2\Delta x \times 2\Delta y \times \Delta z}{1,5\Delta x} + \frac{c \times \rho \times U (T_{25,\tau} - T_{24,\tau}) 2\Delta x \times 2\Delta y \times \Delta z}{3\Delta x} = c \times \rho \times 2 \Delta x \times 2 \Delta y \times \Delta z \times \Delta z \frac{T_{24,\tau+\Delta\tau} - T_{24,\tau}}{\Delta \tau} \quad (8)$$

Розділимо праву і ліву частини рівняння (8) на $c \times \rho \times 2 \Delta x \times 2 \Delta y \times \Delta z$ і помножимо на $\Delta \tau$.

Поділивши товщину листа на 2 (віссиметрична задача) і отриманий результат на 50, визначимо розмір Δx у мм.

Поділивши ширину листа на 2 (віссиметрична задача) і отриманий результат на 11, визначимо розмір Δy у мм.

Визначимо безрозмірний коефіцієнт А.

$$A = \frac{\Delta y}{\Delta x} \quad (9)$$

Звідки

$$\Delta y = A \times \Delta x \quad (10)$$

Оскільки половина товщини листа розділена на 50 (уся товщина листа на 100 Δx), то ми маємо значення Δx такі, які потребують дуже малих кроків по простору $\Delta \tau$ для забезпечення стійкості рішення.

Внаслідок малого часу рішення $\Delta \tau$ маємо змогу перейти від нелінійної задачі до лінеаризованої. Приймаємо, що за час рішення $\Delta \tau$ – λ , c , та ρ – незмінні і підставляються з урахуванням початкової температури вузла.

Враховуючи залежність (10), а також те, що $\lambda/(c\rho) = a$, та $(a \times \Delta \tau)/\Delta x^2 = F_0$, після відповідних спрощень рівняння (8) матиме вид

$$\times \Delta z \frac{T_{24,\tau+\Delta\tau} - T_{24,\tau}}{\Delta \tau}, \quad (7)$$

де m – маса виділеного об'єму;

ρ – питома вага;

c – теплоємність;

ΔT_{24} – підвищення температури у вузлі (за час $\Delta \tau$);

$\Delta \tau$ – розрахунковий час;

$T_{24,\tau}$ – температура (початкова) у вузлі (у час τ);

$T_{24,\tau+\Delta\tau}$ – температура у вузлі через час $\Delta \tau$.

Змінюючи складові теплового потоку кінцевою від'ємною апроксимацією Фур'є, та враховуючи залежності (2)-(7) запишемо рівняння (2) у виді

$$T_{24,\tau+\Delta\tau} = \frac{1}{6} F_0 (2T_{23,\tau} + T_{25,\tau}) + (1 - 0,5F_0) T_{24,\tau} + \frac{0,25F_0}{A^2} (T_{34,\tau} + T_{14,\tau} - 2T_{24,\tau}) + \frac{q_v \Delta \tau}{c\rho} + \frac{U \Delta \tau}{3\Delta x} (2T_{23,\tau} + T_{25,\tau} - 3T_{24,\tau}) \quad (11)$$

Проаналізуємо отримане рівняння (11). При товщині слябу 150 мм і ширині 1650 мм, $\Delta x=1,5$ мм, а $\Delta y=75$ мм. Безрозмірний коефіцієнт у залежності (8) $A=75/1,5=50$. При підстановці в рівняння (11) цього значення отримуємо

$$T_{24,\tau+\Delta\tau} = 0,1666F_0 (2T_{23,\tau} + T_{25,\tau}) (1 - 0,5F_0) T_{24,\tau} + 0,0001F_0 (T_{34,\tau} + T_{14,\tau} - 2T_{24,\tau}) + \frac{q_v \Delta \tau}{c\rho} + \frac{U \Delta \tau}{3\Delta x} (2T_{23,\tau} + T_{25,\tau} - 3T_{24,\tau}) \quad (12)$$

Як видно з рівняння (12) третій його член, який враховує зміни температури вузла 24 внаслідок впливу сусідніх по вісі у вузлів, має множник 0,0001. Сума температур $(T_{34,\tau} + T_{14,\tau} - 2T_{24,\tau})$ швидше за все дорівнює нулю, або наближується до нього. Внаслідок цього, третім членом у рівнянні (12) можемо знехтувати, і отримаємо новий вид цього рівняння.

$$T_{24,\tau+\Delta\tau} = 0,1666F_0 (2T_{23,\tau} + T_{25,\tau}) + (1 - 0,5F_0) T_{24,\tau} + \frac{q_v \Delta \tau}{c\rho} + \frac{U \Delta \tau}{3\Delta x} (2T_{23,\tau} + T_{25,\tau} - 3T_{24,\tau}) \quad (13)$$

Складання балансу енергії для кутового вузла (1), представленого на рис.3 і основні позначення подібні до вищенаведених.

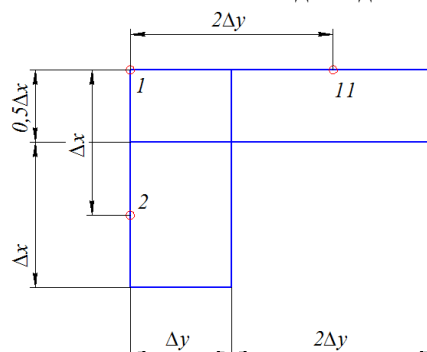


Рис. 3 – Схема поверхневого кутового вузла і сусідніх з ним вузлів

Баланс енергії для вузла (1), записуємо у вигляді

$$q_{2 \rightarrow 1} + q_{11 \rightarrow i} + q_{a_1} + q_{a_2} + q_G + q_w = \frac{\partial U_1}{\partial \tau}, \quad (14)$$

де q_{a_1} – тепловий потік до вузла 1 від іншого твердого тіла (валка);

q_{a_2} – конвекційний тепловий потік до вузла 1 від оточуючої середи.

Кінцево-від’ємна апроксимація Фур’є рівняння (14) має вигляд

$$\lambda \Delta y \Delta z \frac{T_{2,\tau} - T_{1,\tau}}{\Delta x} + \lambda \frac{\Delta x}{2} \Delta z \frac{T_{11,\tau} - T_{1,\tau}}{2 \Delta y} + a_1 \Delta y \Delta z (T_{B,\tau} - T_{1,\tau}) + a_2 \frac{\Delta x}{2} \Delta z (T_{\infty,\tau} - T_{1,\tau}) + q_v \frac{\Delta x}{2} \Delta y \Delta z + \frac{c \rho U (T_{2,\tau} - T_{1,\tau}) \frac{\Delta x}{2} \Delta y \Delta z}{\Delta x} = c \rho \frac{\Delta x}{2} \Delta y \Delta z \frac{T_{1,\tau + \Delta \tau} - T_{1,\tau}}{\Delta \tau}, \quad (15)$$

де a_1 – коефіцієнт теплопередачі між металом і валком;

T_B – температура валка в момент часу τ ;

a_2 – коефіцієнт тепловіддачі до навколишньої середи;

T_{∞} – температура навколишньої середи.

Після спрощень, подібних до тих, що застосували у попередньому прикладі рівняння (15) має вигляд

$$T_{1,\tau + \Delta \tau} = 2F_0 T_2 + \frac{1}{2A^2} F_0 T_{11} + \left(1 - \frac{1}{2A^2} F_0 - 2F_0 - 2Bi' F_0 - \frac{U \Delta \tau}{\Delta x}\right) T_{1,\tau} + T_{1,\tau + \Delta \tau} = F_0 \left(2Bi' T_{B,\tau} + \frac{1}{A} Bi'' T_{\infty,\tau}\right) + \frac{q_v \Delta \tau}{c \rho} + \frac{U \Delta \tau}{\Delta x} T_{2,\tau}; \quad (16)$$

де $Bi' = \frac{a_1 \times \Delta x}{\lambda}$;

$$Bi'' = \frac{a_2 \times A \times \Delta x}{\lambda};$$

Вузол на бічній поверхні слябу.

Основні розміри типового елементарного вузла (4) і сусідніх з ним представлено на рис.4.

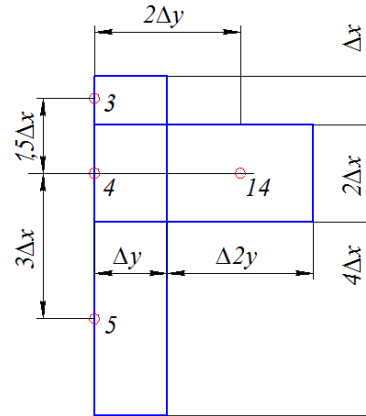


Рис.4 – Схема поверхневого бічного вузла

Рівняння балансу енергії для вузла (4) має вигляд

$$q_{3 \rightarrow 4} + q_{14 \rightarrow 4} + q_{5 \rightarrow 4} + q_{a_2} + q_G + q_{w3 \rightarrow 4} + q_{w5 \rightarrow 4} = \frac{\partial U_4}{\partial \tau}, \quad (17)$$

Члени рівняння (17) можуть бути представлені за допомогою кінцево-від’ємної форми закону Фур’є.

$$\lambda \Delta y \Delta z \frac{T_{3,\tau} - T_{4,\tau}}{1,5 \Delta x} + 2 \Delta x \Delta z \frac{T_{14,\tau} - T_{4,\tau}}{2 \Delta y} + \lambda \Delta y \Delta z \frac{T_{5,\tau} - T_{4,\tau}}{3 \Delta x} + a_2 2 \Delta x \Delta z (T_{\infty,\tau} - T_{4,\tau}) + q_v 2 \Delta x \Delta y \Delta z + \frac{c \rho U (T_{3,\tau} - T_{4,\tau}) \times 2 \Delta x \Delta y \Delta z}{1,5 \Delta x} + \frac{c \rho U (T_{5,\tau} - T_{4,\tau}) \times 2 \Delta x \Delta y \Delta z}{3 \Delta x} = c \rho \times 2 \Delta x \Delta y \Delta z \frac{T_{4,\tau + \Delta \tau} - T_{4,\tau}}{\Delta \tau} \quad (18)$$

Після спрощень рівняння (18) має вигляд

$$T_{4,\tau + \Delta \tau} = F_0 \left(\frac{1}{3} T_{3,\tau} + \frac{1}{2A^2} T_{14,\tau} + \frac{1}{6} T_{5,\tau} \right) + \left(1 - \frac{F_0}{2} - \frac{F_0}{2A^2} - \frac{F_0}{A} Bi'' - \frac{U \Delta \tau}{\Delta x}\right) T_{4,\tau} + \frac{q_v \Delta \tau}{c \rho} + \frac{U \Delta \tau}{3 \Delta x} (2T_{3,\tau} + T_{5,\tau}) \quad (19)$$

Кінцево-від’ємні рівняння для визначення температури у вузлах сітки (рис.1) виведені з рівнянь балансу енергії для відповідних вузлів, після спрощень мають вигляд:

для вузла 10

$$T_{10,\tau + \Delta \tau} = F_0 \left(\frac{T_{9,\tau}}{63,25} + \frac{T_{20,\tau}}{11A^2} \right) + \left(1 - \frac{F_0}{63,25} - \frac{F_0}{11A^2}\right) T_{10,\tau} + \frac{q_v \Delta \tau}{c \rho} + \frac{U \Delta \tau}{11,5 \Delta x}; \quad (20)$$

для вузла 21

$$T_{21,\tau + \Delta \tau} = 2F_0 (T_{22,\tau} + Bi' \times T_{B,\tau}) + \left(1 - 2F_0 - \frac{0,5F_0}{A^2} - 2Bi' F_0 - \frac{U \Delta \tau}{\Delta x}\right) T_{21,\tau} + \frac{0,25F_0}{A^2} (T_{11,\tau} + T_{31,\tau}) + \frac{q_v \Delta \tau}{c \rho} + \frac{U \Delta \tau \times T_{22,\tau}}{\Delta x}; \quad (21)$$

для вузла 30

$$T_{30,\tau + \Delta \tau} = 0,0158 F_0 \times T_{29,\tau} + \left(1 - 0,0158 F_0 - \frac{0,25F_0}{A^2} - \frac{0,087 U \Delta \tau}{\Delta x}\right) T_{30,\tau} + \frac{\Delta \tau}{c \rho} + \frac{0,087 \times U \Delta \tau \times T_{29,\tau}}{\Delta x} \quad (22)$$

Усі інші кінцево-від’ємні рівняння для вузлів сітки, представленої на рис.1 виводяться подібним чином.

Аналізуючи наведені рівняння (16), (19–22), бачимо, що у всіх цих рівняннях присутні члени, які враховують зміни температури вузла внаслідок впливу сусідніх по вісі y вузлів з безрозмірним коефіцієнтом A^2 . Використовуючи підхід,

застосований для аналізу рівняння (11), має змогу зробити висновок, що і для інших вузлів сітки (рис. 1) зміною температури вузла внаслідок передачі, чи втрати тепла по вісі y за рахунок теплопровідності можемо нехтувати.

Цей висновок припустимий у разі, якщо на поверхні металу вздовж вісі y коефіцієнти теплопередачі до валків і коефіцієнти тепловіддачі до води або навколишньої середовища – однакові. У такому разі задача спрощується і відпадає необхідність вирішувати тривимірну задачу.

Висновки. 1. Встановлено, що для дослідження процесів теплообміну полоси і валків, а також валків з водою під час прокатки найбільш ефективним є метод математичного моделювання. Для рішення теплофізичних задач теплообміну системи валок –

полоса, що описуються рівняннями нестационарної теплопровідності, найбільш ефективним є вибраний метод кінцевих від'ємностей.

2. У прямокутній системі координат виконаний поділ слябів, з яких прокатується гарячекатаний лист, умовною сіткою з нерівномірним кроком по простору. Для характерних вузлів сітки складені кінцево-від'ємні рівняння балансу енергії, які після апробації та спрощень дозволили отримати рівняння для визначення температури для усіх вузлів умовної сітки.

3. Виконані дослідження є основою для подальших розрахунків та вирішення нелінійних задач, що описуються рівняннями нестационарної теплопровідності, зокрема задач теплового стану системи валок – полоса при прокатці тонких полос.

Список літератури: 1. De Paepe, Simon P., Moerkerke I., Hermann J.C. Control of the temperature of the bar on entry to the finisher // ECSC STEEL RTD PROGRAMME. – 2000. – P. 1–9. 2. Trishevskii O.I., Saltavets N.V. Mathematical model of the thermal state of strip in rolling // Steel in translation 2009 – №2 – Vol 39 – P.42–44. Allerton Press Inc. 3. Тришевський О. І., Салтавець Н. В. Разработка математической модели теплового состояния валков при прокатке // Сталь 2011 – №12 – С.22–23. 4. Коздоба Л.А. Электрическое моделирование явлений тепло- и массопереноса // М.: Энергия. – 1972. – 296 с. 5. Кузьмин М.П. Электрическое моделирование явлений нестационарных процессов теплообмена. // М. Энергия. – 1974 – 416 с. 6. Тришевський О.І., Салтавець Н.В. Математическая модель теплового состояния системы валок-полоса и её использование при реконструкции станов горячей прокатки. // Сборник научных трудов «Обработка металлов давлением» №2(23) Краматорск, 2010. С.53–59. 7. Крейт Ф., Блэк У. Основы теплопередачи. // М.: Мир. –1983. – 512 с.

Bibliography (transliterated) 1. De Paepe, et al. «Control of the temperature of the bar on entry to the finisher» ECSC STEEL RTD PROGRAMME. 2000. 1–9. Print. 2. Trishevskii, O.I., and N.V. Saltavets. «Mathematical model of the thermal state of strip in rolling» Steel in translation. Allerton Press Inc. No. 2. Vol. 39. 2009. 42–44. Print. 3. Trishevskij, O. I., and N. V. Saltavec. «Razrabotka matematicheskoi modeli teplovogo sostojanija valkov pri prokatke» Stal, No.12. 2011. 22–23. Print. 4. Kozdoba, L.A. Jelektricheskoe modelirovanie javlenij teplo- i massoperenosa. Moscow: Jenergija, 1972. Print. 5. Kuz'min, M.P. Jelektricheskoe modelirovanie javlenij nestacionarnyh processov teploobmena. Moscow: Jenergija, 1974. Print. 6. Trishevskij, O.I. and N.V. Saltavec. «Matematicheskaja model' teplovogo sostojanija sistemy valok-polosa i ejo ispol'zovanie pri rekonstrukcii stanov gorjachej prokatki.» Sbornik nauchnyh trudov «Obrabotka metallov davleniem.» No.2 (23). Kramatorsk: 2010. 53–59. Print. 7. Krejt, F., and U. Bljek. Osnovy teploperedachi. Moscow: Mir, 1983. Print.

Надійшла (received) 25.10.2015

Відомості про авторів / About the Authors

Тришевський Олег Ігорович, доктор технічних наук, професор, Харківський національний технічний університет сільського господарства ім.Петра Василенка, завідувач кафедри «Технологія матеріалів», тел. 050-407-26-11, E-mail: 3shev@ukr.net.

Салтавець Микола Вільямович, Харківський національний технічний університет сільського господарства ім.Петра Василенка, інженер, тел. 7-164-153.

Trishevskiy Oleh Igorovich, doctor of engineering sciences, professor, Kharkiv national technical university of agriculture, the name of Petro Vasilenko, manager of department «Technology of materials», tel., 407-26-11, E-mail: 3shev@ukr.net.

Saltavec' Nikolay Vil'yamovich, Kharkiv national technical university of agriculture the name of Petro Vasilenko, engineer, tel. 164-153.